

Влияние толщины базы на эффективность фотопреобразования текстурированных солнечных элементов на основе кремния

А.В. Саченко¹, В.П. Костылев¹, А.В. Бобыль², В.Н. Власюк¹, И.О. Соколовский¹,
В.Н. Вербицкий², Е.И. Теруков^{2,3}, М.З. Шварц², М.А. Евстигнеев⁴

¹*Институт физики полупроводников им. В.Е. Лашкарева НАН Украины, 03028 Киев, Украина, e-mail: sach@isp.kiev.ua,*

²*Физико-технический институт им. А.Ф. Иоффе, 194021 Санкт-Петербург, Россия*

³*НТЦ тонкопленочных технологий в энергетике, 194064 Санкт-Петербург, Россия*

⁴*Department of Physics and Physical Oceanography, Memorial University of Newfoundland, St. John's, NL, A1B 3X7 Canada*

Обнаружена трансформация механизмов формирования длинноволнового края внешнего квантового выхода в текстурированных солнечных элементах (СЭ) на основе кремния в зависимости от их толщины. Получены выражения, описывающие экспериментальные зависимости внешнего квантового выхода СЭ на длинноволновом краю поглощения в широком диапазоне толщин базы (100-450 мкм). Они позволяют рассчитать оптимальные значения толщины базы СЭ из условия максимума эффективности фотопреобразования при учете значений скорости поверхностной рекомбинации. В частности, установлено, что оптимальная толщина базы порядка 100 мкм достигается при скорости поверхностной рекомбинации около 3 см / с.

Повышение эффективности фотопреобразования η является ключевой научно-практической задачей разработки солнечных элементов (СЭ) [1]. Увеличение η достигается при уменьшении безызлучательной рекомбинации (объемной и поверхностной), а также при уменьшении коэффициента отражения света от фронтальной поверхности r_s . Уменьшение объемной рекомбинации достигается путем использования кремния с меньшей концентрацией дефектов, ответственных за рекомбинацию Шокли-Рида-Холла, и уменьшения толщины базы СЭ d . Уменьшение поверхностной рекомбинации происходит

за счет создания на тыловой поверхности СЭ изотипного перехода или гетероперехода, а также благодаря уменьшению концентрации поверхностных рекомбинационных состояний из-за пассивирующего действия термического окисла кремния или внедренного в полупроводник водорода. Радикальным методом уменьшения r_s является текстурирование одной или обеих поверхностей кремниевой пластины.

Важной задачей является оптимизация толщины СЭ. Величина d_{opt} определяется из максимума произведения напряжения холостого хода V_{OC} на плотность тока короткого замыкания J_{SC} . Можно показать, что для высокоэффективных СЭ справедливо выражение

$$V_{OC}(d) \propto \ln(J_{SC}(d)/q(d/\tau_b + S)), \quad (1)$$

где q - элементарный заряд, τ_b - объемное время жизни, S - суммарная скорость поверхностной рекомбинации на освещенной и тыльной поверхностях СЭ. Величина $J_{SC}(d)$ с увеличением d растет, а зависимость $V_{OC}(d)$ определяется соотношением скоростей объемной и поверхностной рекомбинации, а также скоростью роста $J_{SC}(d)$.

Как показано в работе [2], вероятность поглощения фотона возрастает за счет увеличения его пути от значения $2d$ в плоскопараллельной кремниевой структуре с зеркальной тыловой поверхностью до значения $4n_r^2d$ - в текстурированной, где n_r - показатель преломления. Поэтому внутренний квантовый выход фототока во втором случае будет определяться не выражением для плоскопараллельной структуры вида

$$IQE_m(\lambda) = 1 - \exp(-2\alpha(\lambda)d), \quad (2)$$

а формулой Яблоновича [2]

$$IQE_t(\lambda) = \left(1 + \left(4\alpha(\lambda)d n_r^2\right)^{-1}\right)^{-1}, \quad (3)$$

где $\alpha(\lambda)$ - коэффициент поглощения света в зависимости от длины световой волны λ .

Выражения (2) и (3) справедливы только в случае высокоэффективных кремниевых СЭ,

для которых $\eta \geq 20\%$. Они реализуются, когда имеют место следующие критерии: $L \gg d$, $Sd/D \ll 1$, где L и D - длина и коэффициент диффузии неосновных носителей заряда.

На рис. 1а - 1в приведены экспериментальные зависимости $EQE(\lambda)$ для текстурированных *HIT* элементов с толщиной, равной 98 мкм [3], измеренные в настоящей работе для *HIT* элементов с толщиной 160 мкм и полученные в [4] для кремниевых СЭ с *p-n* переходом при толщине, равной 450 мкм. На каждом из рисунков построены расчетные зависимости для внутреннего квантового выхода $IQE(\lambda)$, описываемые формулами (2) и (3). Величина коэффициента поглощения $\alpha(\lambda)$ взята из работы [5]. Для удобства расчетные кривые 1 и 2 нормированы на максимальное экспериментальное значение EQE . Значения толщины, фотоэнергетические параметры, объемные времена жизни и уровень легирования для использованных структур СЭ приведены в таблице 1.

Как видно из рис. 1а, только на нем есть участок, на котором зависимость $EQE(\lambda)$ описывается формулой Яблоновича (3). В общем случае экспериментальные результаты для зависимостей EQE , приведенные на рис. 1а – 1в, в области края поглощения могут быть согласованы с расчетом при использовании эмпирической формулы

$$IQE_s(\lambda) = (IQE_t x + IQE_{nt}(1-x)), \quad (4)$$

где x - численный коэффициент, изменяющийся между единицей и нулем. При $x \rightarrow 1$ имеет место формула Яблоновича (3), а в пределе $x \rightarrow 0$ справедливо выражение (2). Варьируя x , можно достичь удовлетворительного согласования расчетной зависимости (4) с экспериментом, приведенным на рис. 1а – 1в (см. кривые 3). Как видно из рис. 1, в текстурированных СЭ на основе кремния при увеличении толщины d от значений ~ 100 мкм и выше происходит переход от механизма Яблоновича к механизму, связанному с однократным отражением света в плоскопараллельной структуре. Для структур СЭ с толщиной 98 мкм в области $\lambda \geq 1130$ нм эксперимент согласуется с формулой (3), а при $\lambda \leq 1000$ нм происходит постепенный переход к закону (2) (рис. 1а). Для структур СЭ с тол-

щиной 160 мкм в области $1200 \geq \lambda \geq 1000$ нм работает комбинированный механизм, а при $\lambda \leq 1000$ нм происходит переход к механизму, справедливому для плоскопараллельных структур (рис. 1б). При толщинах ~ 450 мкм действует механизм, связанный с однократным отражением света в плоскопараллельной структуре (рис. 1в). Заметим, что имеются и другие работы [6-8], в которых приведены зависимости $EQE(\lambda)$ СЭ на основе кремния, и в которых наблюдаются аналогичные результаты.

Величина J_{SC} в условиях AM1,5 определяется из выражения

$$J_{SC} = q \int_{\lambda_0}^{\lambda_m} I_{AM1,5}(\lambda) EQE(\lambda) d\lambda, \quad (5)$$

где λ_0 - коротковолновый край поглощения, $\lambda_m = 1200$ нм, $I_{AM1,5}(\lambda)$ - спектральная плотность потока фотонов при реализации условия AM 1,5.

На рис. 2 приведены расчетные зависимости $J_{SC}(d)$, полученные с использованием (5). Кривые 1 - 3 получены с использованием экспериментальных значений для внешнего квантового выхода $EQE(\lambda)$, а также выражений (4) и (5). Для сравнения на рисунке построены зависимости $J_{SC}(d)$, полученные при использовании формулы (3) (см. кривые 1' - 3'). Как видно из сравнения кривых (1-3) и (1' - 3'), зависимости J_{SC} при $d = 98$ мкм близки к полученным из формулы Яблоновича, при $d = 160$ мкм растут несколько быстрее, а при $d = 450$ мкм – заметно быстрее. Это согласуется с результатами, приведенными в [2].

Рассмотрим вопрос о соотношении вкладов в J_{SC} , связанных со сдвигом зависимости $EQE(\lambda)$ в длинноволновую сторону и с уменьшением коэффициента отражения r_s в текстурированных СЭ. Используя выражение (5), и зависимости $EQE(\lambda)$ и $IQE(\lambda)$, приведенные на рисунках 1 и 2, можно оценить величину ΔJ_{SC1} , связанную с длинноволновым сдвигом. Относительная величина ΔJ_{SC1} составляет около 7.5% для $d = 98$ мкм и около 2.8% для $d = 160$ мкм. Величина ΔJ_{SC2} , связанная с уменьшением r_s , может быть

оценена при использовании формулы Френеля. Для кремния r_s составляет около 30%, что приводит к росту J_{SC2} примерно на 41% для случая [3], и на 38% при $d=160$ мкм. При $d = 450$ мкм [4], величина J_{SC} текстурированных СЭ по сравнению с плоскими увеличивается на 41% исключительно за счет уменьшения r_s .

Для определения $\eta(d)$ воспользуемся результатами подхода к расчету параметров высокоэффективных СЭ на основе кремния, описанными в [9,10]. Данный подход позволяет рассчитать также величину S . Результаты расчета S приведены в таблице 1. Используя выражения для η из [9,10], данные для S и рассчитывая зависимости J_{SC} с использованием (4) и (5), получаем расчетные зависимости $\eta(d)$, приведенные на рис. 3. Значения d_{opt} исследуемых СЭ приведены в таблице 1. Сравнивая толщины СЭ и величины d_{opt} для разных СЭ, можно сделать вывод, что толщины исследуемых СЭ оптимизированы. Для достижения максимальных значений η при толщинах ~ 100 мкм, необходимы низкие значения S , что характерно для *HIT* СЭ. Как видно из таблицы 1, для исследованных *HIT* элементов полученные значения S равны соответственно 5,5 и 9 см/с. Для кремниевых СЭ с $p-n$ переходом значение S равно 26 см/с. По-видимому, причиной этого является то, что пассивация поверхности с помощью водорода является более эффективной, чем пассивация с использованием термического окисла кремния.

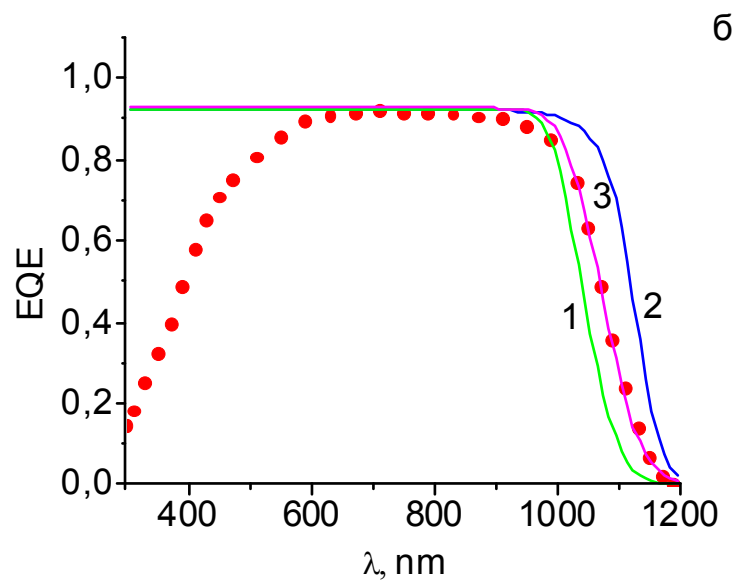
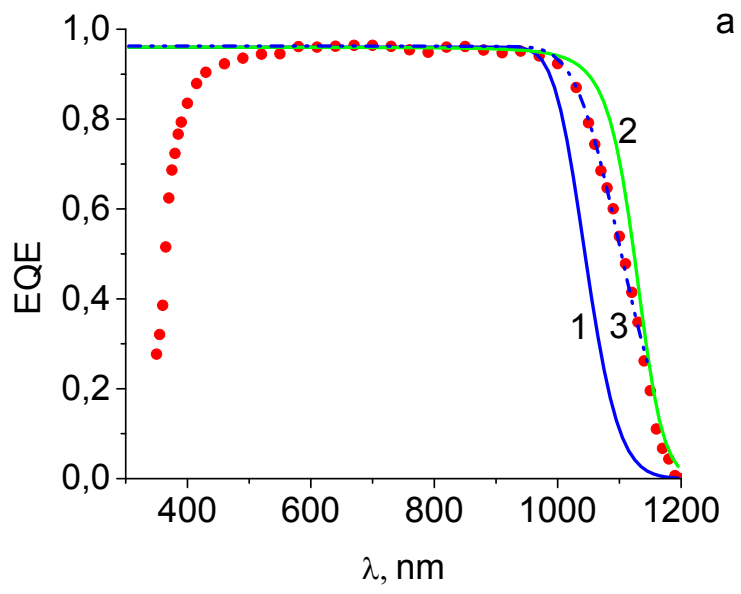
Таким образом, в текстурированных высокоэффективных СЭ на основе кремния с увеличением их толщины происходит трансформация механизма формирования длинноволнового края $EQE(\lambda)$ от механизма формирования, описываемого формулой Яблоновича, к механизму, связанному с зеркальным отражением света в плоскопараллельной структуре. Значение оптимальной толщины, при которой реализуется максимальная величина η , критично к величине скорости поверхностной рекомбинации, в частности, $d_{opt} \sim 100$ мкм может быть достигнуто, если $S \sim 3$ см / с.

Литература

1. Green M. A.// Solar cells: Operating principles, technology and system application Prentice-Hall, Englewood Cliffs, NJ, 1982; M. Green// Third generation photovoltaics. Advanced Solar Energy Conversion. Springer-Verlag Berlin Heidelberg 2003. 2006
2. Tiedje, E. Yablonovitch, G.D. Cody, and B.J. Brooks// IEEE Transaction on electron devices, 1984. V. **ED31** N 5. P. 711 Spain. P. 468
3. A. Jano, S. Tohoda, K. Matsuyama, Y. Nakamura, T. Nishiwaki, K. Fujita, M. Taguchi, and E. Maruyama. *Proc. 28th European Photovoltaic Solar Energy Conference and Exhibition* (Paris, France, 2013) P. 1846.
4. J. Zhao, A. Wang, and M. A. Green// Appl. Phys. Letters. 1998. V. 73, N. 14. P. 1991
5. T. Trupke, J. Zhao, A. Wang, R. Corkish, M.A. Green// Appl. Phys. Lett. 1991. V **82**. P. 2996
6. K. Masuko, M. Shigematsu, T. Hashiguchi et al. // 2014. V.4. N 6. P. 1433
7. Centre of Excellence for Advanced Silicon Photovoltaics and Photonics, Annual Report, The Australian Research Council, Sidney, 2005.
8. R. Gogolin, R. Ferre, M. Turcu, N.-P. Harder// 2012. V.106. P. 47
9. А.В. Саченко, Ю.В. Крюченко, В.П. Костылев и др. // ФТП. 2016 **50**(2). С. 259
10. A.V. Sachenko, Yu. V. Kryuchenko, V.P. Kostilyov et al.// J. Appl. Phys. 2016. V 119. P. 225702

Таблица 1

| Образец | d, мкм | τ_b , нс | S, см/с | J _{sc} , мА/см ² | V _{oc} , В | FF, % | η , % | n ₀ , см ⁻³ | d _{opt} , мкм |
|---------------|-----------|------------------|------------|---|------------------------|----------|---------------|--------------------------------------|---------------------------|
| № 1 [3] | 98 | 3 | 5,5 | 39,5 | 0,750 | 83,2 | 24,7 | $5 \cdot 10^{15}$ | 110-130 |
| № 2 Наши изм. | 160 | 1.5 | 9 | 36 | 0,721 | 78,6 | 20,4 | $1 \cdot 10^{15}$ | 190-210 |
| № 3 [4] | 450 | 1.5 | 26 | 42 | 0,696 | 83,6 | 24,5 | $5 \cdot 10^{15}$ | 450-700 |



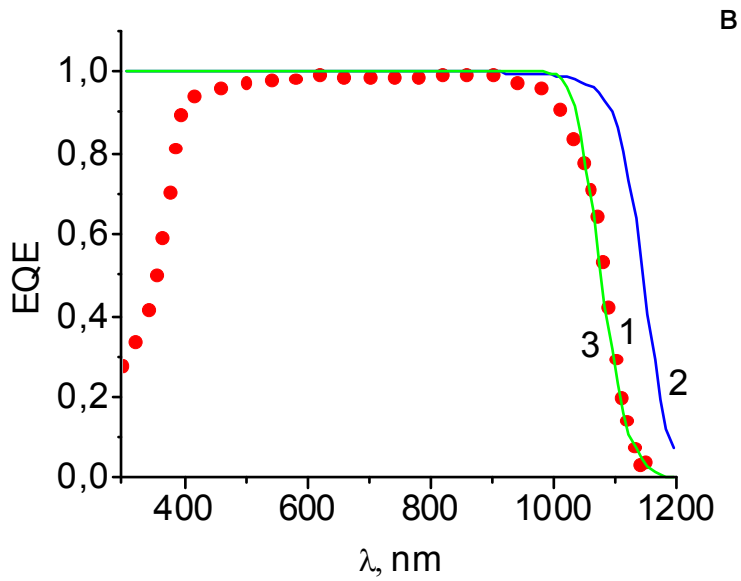


Рис. 1. Экспериментальные зависимости СЭ для внешнего квантового выхода, взятые из работы [3] (рис. 1 а), из наших измерений (рис. 1б) и из работы [4] (рис. 1в).

Теоретические зависимости внутреннего квантового выхода (кривые 1-3) рассчитаны по формулам (2), (3) и (7). Использованные при расчете параметры: $x=0.87$ (рис. 1а), $x=0.49$ (рис. 1б) и $x=0.03$ (рис. 1в).

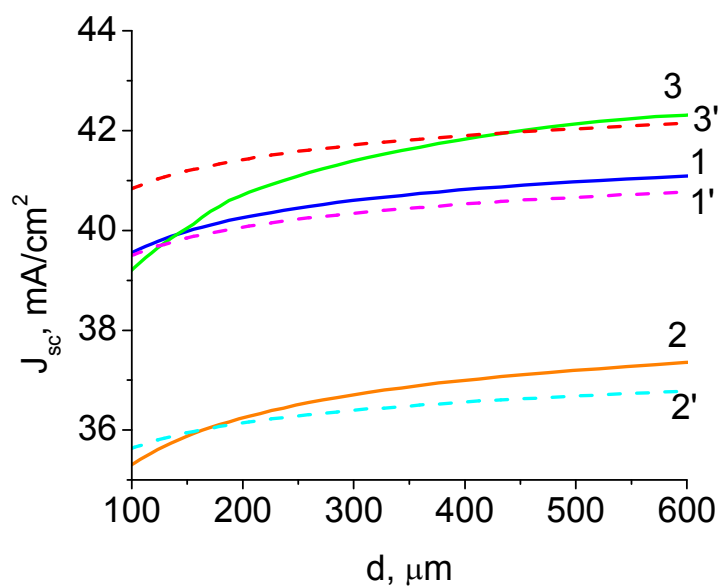


Рис. 2. Теоретические зависимости плотности тока короткого замыкания от толщины, построенные с использованием параметров, приведенных в таблице 1. Нумерация кривых в соответствии с таблицей 1. Штриховые кривые 1' - 3' построены с использованием формулы Яблоновича (3).

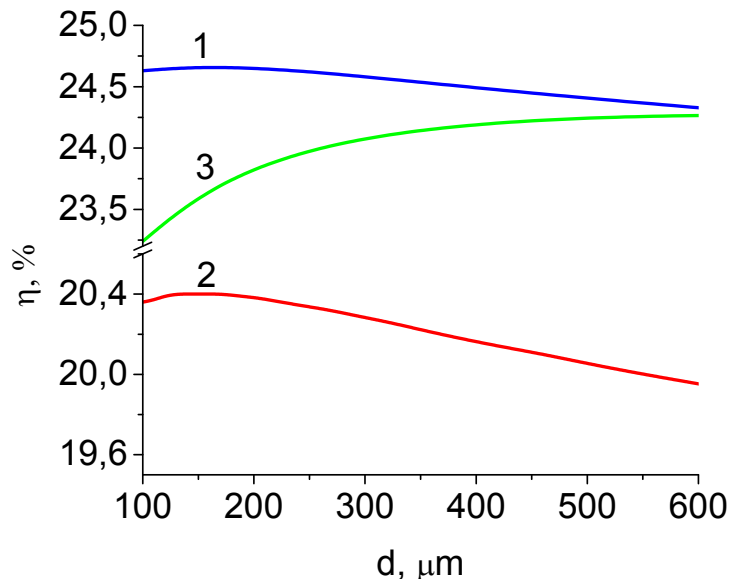


Рис. 3. Теоретические зависимости эффективности фотопреобразования от толщины, построенные с использованием параметров, приведенных в таблице 1. Нумерация кривых в соответствии с таблицей 1.